

# 金属切削机床改装 所用的电气设备

苏联金属切削机床科学研究所编著



机械工业出版社

# 金屬切削机床改装 所用的电气设备

苏联金属切削机床科学研究所编著

陈泽俊译



机械工业出版社

1959

## 內容簡介

本書闡述改裝金屬切削机床時工程師和技術員所必需的關於設計和安裝電氣設備的基本知識。

書中列舉了机床用電動機容量的選擇方法，電動機和各種電氣設備的主要技術數據，關於選擇各種電氣設備、導線和在金屬切削機床上安裝電氣設備的基本資料。

苏联Экспериментальный научно-исследовательский институт металлорежущих станков 编 Общие справочные данные по электрооборудованию, используемому при модернизации металлорежущих станков (Машгиз 1956年 第一版)

NO. 2752

1959年4月第一版 1959年4月第一版第一次印刷

850×1168<sup>1/32</sup> 字数125千字 印张4<sup>15/16</sup> 0,001—7,100册

机械工业出版社(北京阜成門外百万庄)出版

北京五三五工厂印刷

新华书店發行

北京市書刊出版業營業許可証出字第008號 定價(11)0.93元

# 目 录

緒言 .....	5
I. 改裝机床用的驅動電動機的主要型式及其選擇 .....	6
A. 金屬切削机床驅動電動機的選擇 .....	6
1. 概論 .....	6
2. 在持續定值負載及短時負載時電動機容量的確定 .....	7
3. 在間歇工作方式下電動機容量的確定 .....	8
4. 在間歇方式下工作的鼠籠式異步電動機容量的選擇和驗算 .....	8
5. 机床電動機避免周圍介質有害影響的保護方式的選擇 .....	15
6. 根據轉數和動力特性選擇机床用電動機 .....	29
7. 根據結構型式（安裝方式）選擇机床的驅動電動機 .....	29
8. 在金屬切削機床上安裝電動機的技術要求 .....	31
B. 統一的A系列三相鼠籠式異步電動機的主要技術 數據和外形尺寸 .....	32
1. 概論 .....	32
2. 基本型式的A系列防護式和封閉風冷式電動機 .....	32
B. 統一的A系列修改型三相鼠籠式異步電動機的主要 技術數據和外形尺寸 .....	50
1. AII. AOP型高起動轉距電動機和AC. AOC型高轉差率電 動機 .....	65
2. 可變極數的多速三相鼠籠式異步電動機（2速、3速和4 速） .....	65
II. 帶有三相鼠籠式異步電動機的机床驅動裝置的主要 控制電器 .....	78
1. 磁力起動器 .....	78
2. 中間繼電器 .....	78
3. 時間繼電器 .....	79
4. 電動機反接制動時的速度控制繼電器 .....	81

4	
5 电磁铁 .....	83
6 多片式电磁摩擦离合器 .....	90
7 电磁吸盘 .....	90
8 控制按钮 .....	90
9 行程(终点)开关 .....	94
10 熔断保险器 .....	96
11 信号灯 .....	102
12 低压控制线路供电用 TB 系列單相降压变压器 .....	103
13 可变极数多速电动机的磁极转换开关 .....	107
14 组合开关和转换开关 .....	107
15 机床的局部照明器和局部照明灯 .....	110
16 接线端子组 (接线板) .....	118
17 金属切削机床的敷线 .....	119
<b>III. 关于改装金属切削机床时以苏联的电气设备代替进口电气设备的基本指示 .....</b>	<b>134</b>
1 概论 .....	134
2 交流电动机 .....	134
3 电器设备 .....	134
<b>附录 1 .....</b>	<b>136</b>
<b>附录 2 .....</b>	<b>152</b>
<b>附录 3 .....</b>	<b>157</b>

## 緒 言

在改装金属切削机床时，常常需要提高驱动电动机的容量，以及在机床上安装辅助操作（零件的夹紧、刀架的加速行程等）自动化用的附加电动机，这就要求改变机床的电气传动装置电路，更换个别电器（磁力起动器）和在电路中放入新的电器（中间继电器、时间继电器等）。

本著作报导苏联工厂中从事于机床改装的工作人员关于机床用电动机和电气设备的选择方法，电气设备在机床上的安装方法，以及各种类型的机床上常用的苏联制造的电动机和电气设备的技术数据。

## I 改装机床用的驅动电动机的主要型式及其選擇

改装金屬切削机床时，常常需要更换电动机。

在更换电动机时，首先应采用同期轉速为3000、1500和1000轉/分的高速三相鼠籠式异步电动机。它有良好的动力指标，并且在机床上的使用是最可靠的。

避免周围介質的有害影响，應該采用封闭風冷式电动机，因为它能保証机床在使用时最可靠和不间断地工作。

对于金屬切削机床用的A及AO系列三相鼠籠式异步电动机之容量的选择，推荐下述方法。

### A. 金屬切削机床驅动电动机的选择

#### 1 概 論

正确地选择金屬切削机床电动机的容量有很大的实际意义。在电动机容量太低的情况下，机床将不能充分利用，也不可能在机床上进行工艺规程所拟定的加工过程；电动机的使用期限可能縮短（有时还很显著），甚至發生事故。

电动机的容量太大，会引起电动机經常的欠負載，因而降低了异步电动机的效率和功率因数。

因此机床的驅动电动机應該这样来选择，使它能保証机床按照負載曲线工作，而其过热不致超过标准所規定的容許值。此外，按以下几点来正确地选择电动机，这对机床的可靠和不间断地工作，有很大的意义：

- a ) 按避免周围介質有害影响的保护方式；
- b ) 按安装方式（结构型式）；

b) 按轉數和動力特性。

## 2 在持續定值負載及短時負載時電動機容量的確定

電動機以定值負載長期工作時，經過一定時間，便達到規定的過熱值。大型車床、立式機床、銑齒機以及和它們類似的機床的驅動裝置都表征著這種工作狀態。

確定以定值負載長期工作的電動機的容量，並不十分困難，因為所選擇的電動機的額定功率值應該等於它的定值負載。如果產品目錄中沒有所需功率的電動機，則必須選擇最接近的而功率較大的電動機。

在短時工作方式下，電動機在工作時期內的發熱不會達到規定的溫度，而且停歇時間又較長，以致電動機實際上是處於冷卻狀態。

金屬切削機床的各種輔助驅動裝置（刀架、橫梁、座架的加速移動驅動裝置，夾緊零件的驅動裝置等）都表徵著短時工作狀態。

這種驅動裝置的工作持續時間通常十分短，不會超過5~15秒。只有極大型的機床才達到1~1.5分。在這段時間內，電動機來不及發熱到其容許限度以上。在這種情況下，電動機的容量應按起動（開動）條件來確定，因為由發熱條件確定的容量，通常是十分小的。

機床的輔助驅動裝置工作時，阻轉距 $M_r$ 基本上是由摩擦力引起的。

因此，對於這種驅動裝置的電動機主要應按開始起動轉距來選擇。

考慮到網路電壓可能波動，對於短時工作方式推薦按下面的條件來選擇電動機：

$$0.7M_{n_{av}} \geq M_c$$

式中  $M_{n_{av}}$ ——電動機的開始起動轉距；

$M_c$ ——起动时的静止阻转距。

### 3 在间歇工作方式下电动机容量的确定

在金属切削机床的驱动装置中，按照工艺过程的条件有许多具有间歇（断续的）工作方式，在这种情况下，电动机的起动和逆转次数有时达到每小时数百次。

在这种工作方式时，电动机的温度在每一工作时期内，不会达到规定值，而电动机断开網路停歇时，也来不及冷却到周围介质的温度。

间歇工作方式的电动机之计算，就在于判断所选择的电动机是否与已知负载曲线相适应（按线卷的容许过热）。

在间歇方式下工作的鼠笼式异步电动机的基本计算方法乃是热平衡法，它是以电动机的损耗所产生的热量和散热量的计算为基础的，这种方法通常在电力驱动课程中均有引述。

一些作者曾根据电动机产品目录的数据和异步电动机参数间的某些关系，提出了许多计算公式，而这些参数是不能精确地确定的。因此在公式中含有许多假设，降低了计算的精确度，并且在按照不同的作者（А. Т. Голован, С. А. Пресс, В. К. Попов等）的计算公式来选择间歇工作方式之电动机时，都会与实验数据有很大的偏差。

如已知产品目录中所没有的一些附加数据，例如电动机起动和逆转次数，则电动机的选择可以更为精确。这就可以放弃公式中的某些假设。

下面引述已知电动机空载的容许起动和逆转次数时，间歇工作方式的鼠笼式异步电动机之计算方法。

### 4 在间歇方式下工作的鼠笼式异步电动机

#### 容量的选择和验算

确定电动机工作循环的机床或其它机器的工作循环，决定于

工艺要求。

电动机每小时的循环、起动或逆轉次数是預先給定的。知道了电动机的額定功率損耗，可以将它与电动机在一个循环内的平均損耗（此損耗由計算求得）相比較，則根据热平衡条件可得：

$$\Delta P_n \geq \Delta P_{cp} = \frac{\Delta A_{n_1} + \Delta A_{n_2} + \dots + \Delta A_{n_i} + \Delta A_{m_1} + \dots + \Delta A_{m_i} + \Delta P_1 t_1 + \dots + \Delta P_i t_i}{\alpha \Sigma t_0 + \frac{1+\alpha}{2} \Sigma t_{nep} + t_1 + \dots + t_i} \quad (1)$$

式中

$\Delta P_n$ ——在額定負載时电动机中的功率損耗（瓦）；

$\Delta P_{cp}$ ——在一个工作循环内电动机中的平均損耗（瓦）；

$\Delta A_{n_1}, \dots, \Delta A_{n_i}$ ——在已知負載下每一次起動的能量損耗（瓦秒）；

$\Delta A_{m_1}, \dots, \Delta A_{m_i}$ ——在已知負載下电动机每一次制動的能量損耗（瓦秒）；

$\Delta P_1, \dots, \Delta P_i$ ——在已知負載下电动机中的損耗（瓦）；

$\alpha$ ——轉子不动时电动机散热量的恶化系数（ $\alpha$ 值由实验确定）；

$\Sigma t_0$ ——电动机断开網路时的总停歇时间（秒）（由机床的工作循环确定）；

$\Sigma t_{nep}$ ——电动机在負載下的起動和反接制動之总時間（秒）；

$t_1, \dots, t_i$ ——电动机在稳定負載下的工作时间（秒）（由負載曲綫給出）。

1. 在額定負載下电动机損耗的确定：

$$\Delta P_n = P_n \frac{100 - \eta_n}{\eta_n} \text{瓦} \quad (2)$$

式中  $P_n$ ——电动机的額定功率（瓦）；

$\eta_n$ ——电动机的額定效率（%）。

一般情况下，在已知的任何負載时，电动机的功率損耗为：

$$\Delta P_i = P_i \frac{100 - \eta_i}{\eta_i} \text{ 千瓦}, \quad (2a)$$

式中  $P_i$  —— 在該負載下电动机軸上的功率，由机床的工作循环給出；

$\eta_i$  —— 在該負載下电动机的效率 (%)。

在电动机空載工作时

$$\Delta P_i = P_0, \quad (2b)$$

式中  $P_0$  —— 空載时电动机的鐵損和定子綫卷中的損耗。

2. 在一个工作循环內电动机平均功率損耗的确定。

在一个工作循环內，电动机中的平均功率損耗按公式(1)确定，并与額定功率时电动机的功率損耗相比較。 $\Delta P_{cp}$  不应超过  $\Delta P_n$ 。

3. 在已知負載下每一次起動的能量損耗的确定。

知道了每一次无負載空轉起動的能量損耗  $\Delta A_{n_0}$ ，即可確定  $\Delta A_{n_i}$ 。在这种情况下

$$\Delta A_{n_i} = \Delta A_{n_0} \frac{GD_p^2 + GD_i^2}{GD_p^2} \cdot \frac{M_{n_0}}{M_{n_0} - M_{c_i}} \text{ 起秒}, \quad (3)$$

式中  $\Delta A_{n_0}$  —— 每一次空載起動的能量損耗 (起秒)；

$GD_p^2$  —— 轉子的飞輪慣量 (公斤公尺<sup>2</sup>)；

$GD_i^2$  —— 与电动机軸相連接的全部質量換算到电动机軸上的飞輪慣量 (公斤公尺<sup>2</sup>)；

$M_{n_0}$  —— 等加速起動轉距 (公斤公尺)；

$M_{c_i}$  —— 在已知負載下的靜止阻轉距 (公斤公尺)。

公式 (3) 可以改写为

$$\Delta A_{n_i} = \Delta A_{n_0} \left( 1 + \frac{GD_i^2}{GD_p^2} \right) \cdot \frac{1}{\frac{M_{c_i}}{M_{n_0}}}; \quad (3a)$$

$$M_{n_0} = 0.5(K_m + \lambda)M_n \text{ 公斤公尺}, \quad (4)$$

式中  $K_m = \frac{M_{max}}{M_n}$  —— 开始起動轉距倍数；

$\lambda = \frac{M_{max}}{M_n}$  —— 最大轉距倍数。

将公式(4)中的 $M_{e_0}$ 值代入公式(3a), 则得

$$\Delta A_{n_i} = \Delta A_{n_0} \left( 1 + \frac{GD_i^2}{GD_p^2} \right) \cdot \frac{\frac{1}{M_{e_i}}}{1 - \frac{0.5(K_M + \lambda)M_H}{M_H}}; \quad (4a)$$

采用代号

$$1 + \frac{GD_i^2}{GD_p^2} = K_{10} \quad (4b)$$

$$\frac{\frac{1}{M_{e_i}}}{1 - \frac{0.5(K_M + \lambda)M_H}{M_H}} = K_{20} \quad (4c)$$

那么  $\Delta A_{n_i} = \Delta A_{n_0} \cdot K_1 \cdot K_{20} \quad (5)$

电动机的额定转距

$$M_H = \frac{P_H \cdot 975}{n} \text{ 公斤公尺}, \quad (6)$$

式中  $n$  —— 电动机的额定转速(转/分)。

4. 在已知负载下每一次制动的能量损耗的确定:

$$\Delta A_{m_i} = \Delta A_{m_0} \cdot \frac{GD_p^2 + GD_i^2}{GD_p^2} \cdot \frac{M_{m_0}}{M_{m_0} + M_{e_i}} \text{ 毫秒}, \quad (7)$$

式中  $A_{m_0}$  —— 电动机空载时每一次制动的能量损耗(毫秒);

$M_{m_0}$  —— 等加速制动转距(公斤公尺)。

将公式(7)改成下面的形式

$$\Delta A_{m_i} = \Delta A_{m_0} \left( 1 + \frac{GD_i^2}{GD_p^2} \right) \cdot \frac{\frac{1}{M_{e_i}}}{1 + \frac{M_{m_0}}{M_{m_0}}}; \quad (8)$$

$$M_{m_0} = 0.914 K_{M_H} M_H \text{ 公斤公尺}. \quad (9)$$

将公式(9)中的 $M_{m_0}$ 值代入公式(8), 则得

$$\Delta A_{m_i} = \Delta A_{m_0} \left( 1 + \frac{GD_i^2}{GD_p^2} \right) \cdot \left( \frac{\frac{1}{M_{e_i}}}{1 + \frac{0.914 K_{M_H} M_H}{M_H}} \right). \quad (10)$$

由于

$$1 + \frac{GD_i^2}{GD_p^2} = K_1,$$

采用代号

$$\frac{1}{M_{c_1}} = K_3, \quad (11)$$

则得

$$\Delta A_m = \Delta A_{m_0} \cdot K_1 \cdot K_3 \text{ 毫秒。} \quad (12)$$

### 5. 电动机空载及负载时的起动和反接制动时间的确定。

达到额定转速以前的空载起动时间

$$t_{n_0} = \frac{GD^2 \cdot n_n}{375 \cdot M_{n_0}} \text{ 秒。} \quad (13)$$

由额定转速起的空载反接制动时间

$$t_{m_0} = \frac{GD^2 \cdot n_n}{375 \cdot M_{m_0}} \text{ 秒。} \quad (14)$$

对于任何已知负载，电动机的起动时间

$$t_{n_1} = t_{n_0} \cdot K_1 \cdot K_2 \text{ 秒。} \quad (15)$$

对于任何已知负载，电动机的反接制动时间

$$t_{m_1} = t_{m_0} \cdot K_1 \cdot K_3 \text{ 秒。} \quad (16)$$

系数  $K_1$ 、 $K_2$ 、 $K_3$  之值参看公式 (46)、(48) 和 (11)。

現在苏联出品的异步电动机，绝大多数是统一的 A 系列基本型电动机或修改型电动机。

因此，简化一下在间歇方式下工作的统一系列电动机的容量选择，便减轻了设计工作，在大多数情况下所碰到的正是这种系列的电动机。

把验算时所必需的 A 系列电动机的许多数据预先计算出来并分类列于表中是适宜的。为此目的，金属切削机床科学研究院实验所的机床电气化科 (ОЭС ЭНИМС) 编制成表 1~7。

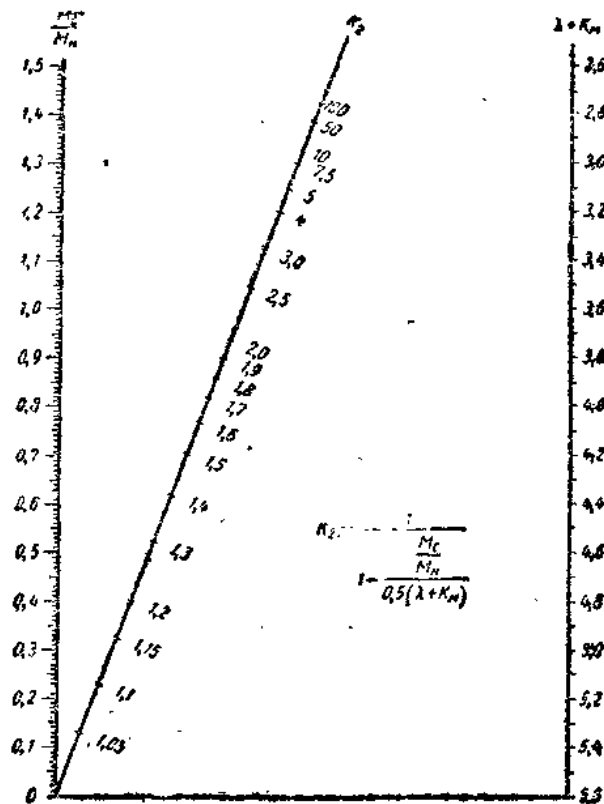
除了利用产品目录的数据 ( $K_n$ 、 $\lambda$ 、 $GD^2$ 、额定效率) 以外，在这些表中尚刊载出了以产品目录的数据为基础而计算出来的数据 ( $M_n$ 、 $\Delta P_n$ 、 $t_{n_0}$ 、 $t_{m_0}$ )。

统一系列电动机的许多计算和实验数据是在电气工业部科学

研究所（НИИ МЭП）中得出的，如：定子繞卷的電阻、鐵損、空轉電流、空載起動和逆轉次數、 $\alpha$ 、在部分負載時的效率和  $\cos\varphi$  值。根據電氣工業部科學研究所獲得的資料，計算出  $P_0$ 、 $\Delta A_{d_0}$  和  $\Delta A_{m_0}$  之值，並載在表 1~7 內。

因此，表 1~7 中所列的數據給出了 A 系列電動機按公式（2）、（26）、（6）、（13）、（14）所計算出來的結果。

系數  $K_2$  和  $K_3$  [公式（4b）和（11）]，系按照金屬切削機床科學研究實驗所機床電氣化科擬制的線圖來進行確定的，該線圖表示在圖 1 和圖 2 上。



系数  $K_2$  按下述方法确定(圖 1): 将确定电动机在該負載下的  $\frac{M_c}{M_H}$  和  $K_{\mu} + \lambda$  值的点, 用直線連接起来。标綫  $K_2$  与該直線的交点便給出系数  $K_2$  值。

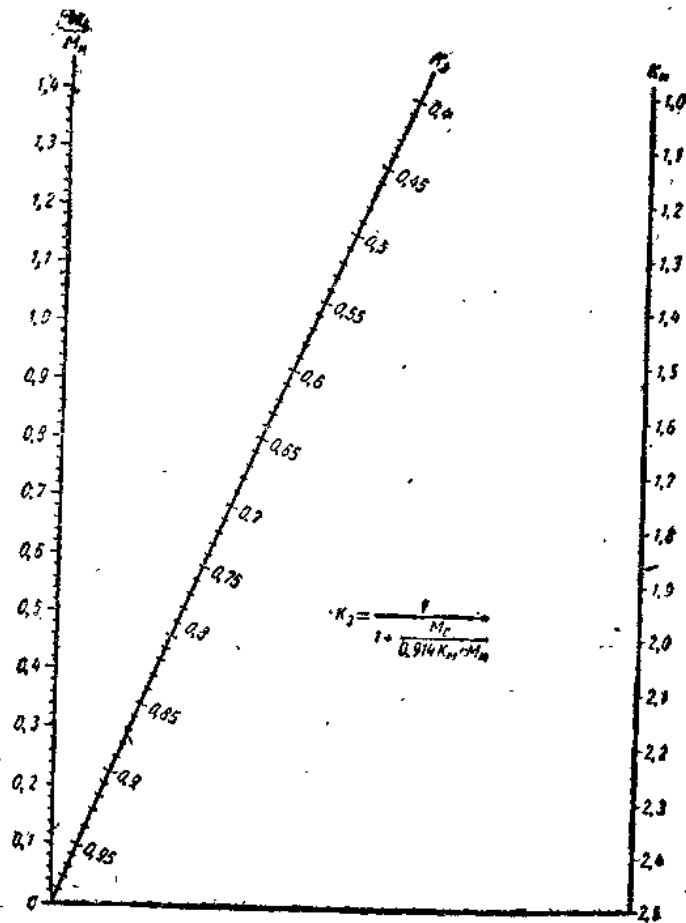


圖 2 确定系数  $K_3$  的綫圖。

为了求出系数  $K_3$  (圖 2), 在标綫  $K_{\mu}$  和  $\frac{M_c}{M_H}$  上, 将确定电

● 原書為  $\frac{M_{c_f}}{M_H}$ , 应改為  $\frac{M_c}{M_H}$ 。——譯者

动机在該負載下的  $K_m$  和  $\frac{M_{c_i}}{M_n}$  值的点，通过标線  $K_3$  用直綫連接起来。在标線  $K_3$  上所得的点給出系数  $K_3$  值。

由上面可以看出，采用金属切削机床科学研究实验所拟制的表格和綫圖，大大简化了在选择間歇工作的 A 系列电动机时的驗算，并縮短了驗算时间。

可能有这种情况，此时由于旋轉質量有很大的慣性，电动机的起動時間将增長，以致在第一次起動和制动时，电动机的綫卷就达到極限容許过热，这是由于电动机中产生的热量来不及傳散之故。在类似的循环下工作时，甚至在每小时的循环次数不多并且每一循环中的容許平均損耗也不大时，电动机的綫卷亦会过热到其容許限度以上。对于这种情况，上述的計算方法是不适用的。

是否能应用上面所提出的方法来选择电动机的容量，可以采用在負載下起動的时间与空載起動時間的比值  $\frac{t_{n_1}}{t_{n_0}}$  作为預定的准则。

当  $t_{n_1} > (10 \sim 15)t_{n_0}$  时，不推荐利用上面提出的方法。

## 5 机床电动机避免周围介質有害影响的 保护方式的选择

机床的驅动电动机应加保护，避免周围介質的有害影响。保护方式与机床的工作及安装情况有关，可按照表 8 中所列的指示来确定。

在磨床、抛光机、刃磨机床和木材加工机床上，必須安装封閉風冷式电动机。封閉風冷式电动机也应该安装在那些在工作情况下产生鑄鐵和磨料塵埃的所有机床上。

**附注** 在上述机床上采用內裝式电动机时，电动机的通風裝置 应保证以不含塵埃的清潔空气来冷却电动机。

● 原書为  $\frac{M_c}{M_n}$ ，应改为  $\frac{M_{c_i}}{M_n}$ 。——譯者

● 即该电动机裝于机床的内部，并利用机床的一部分作为自己的壳体。——譯者

表 1 按已知循环算统一的 A 系列异步电动机所必需的参数  
(防护式 A 型)

电动机 型号	$P_n$ (瓦)	$P_0$ (瓦)	$\Delta P_n$ (瓦)	$K_{m0}$	$K_m$	GD <sup>2</sup> P (公斤·公尺 <sup>2</sup> )	$t_{n0}$ (秒)	$t_{n0}$ (秒)	MH (公斤) 公尺	$\alpha_{A_n}$ 及 $A_{m0}$	M <sub>H</sub> (瓦秒)	负载占额定容量的百分数(%)				效率(%)
												25	50	75	100	125
3000轉/分(同期轉速)																
A31-2	1.0	0.09	2.7	0.29	1.8	2.2	0.008	0.09	0.11	0.34	0.38	63	77	79	79	77
A32-2	1.7	0.1	3.9	0.29	2.0	2.4	0.014	0.08	0.10	0.58	0.66	68.5	82.5	81.5	81.5	81.5
A41-2	2.8	0.14	5.3	0.22	1.6	2.2	0.024	0.10	0.14	1.02	1.62	83	85	84	84	81.5
A42-2	4.5	0.22	7.6	0.22	1.8	2.4	0.034	0.08	0.11	1.53	2.4	76.5	86.5	85.5	81.5	81.5
A51-2	7.0	0.35	1.05	0.16	1.5	2.2	0.11	0.2	0.27	2.33	2.68	83	98	90	84	84
A52-2	10.0	0.28	1.5	0.16	1.6	2.4	0.16	0.18	0.26	3.38	2.70	83.5	87.5	88.5	87.5	86.5
A61-2	14.0	0.67	2.0	0.11	1.2	2.5	0.27	0.24	0.42	4.68	5.96	12.4	71	86	87.5	85.5
A62-2	20.0	1.15	2.6	0.11	1.3	2.7	0.35	0.20	0.35	6.58	8.5	19.02	76.5	85.5	87	88.5
A71-2	28.0	1.02	3.5	0.10	1.0	2.2	0.57	0.30	0.53	9.3	12.0	25.6	—	88	89	87.5
A72-2	40.0	1.33	4.45	0.10	1.1	2.4	0.73	0.25	0.44	13.3	17.3	38.9	82	88	90	90
A81-2	55.0	1.26	5.8	0.99	1.0	2.2	1.4	0.37	0.67	18.3	25.2	61.8	86	90	91	89
A82-2	75.0	—	7.4	0.99	1.1	2.4	1.8	0.32	0.57	25.0	38.3	88.2	84.5	89.5	90.5	91
A91-2	100	2.59	9.3	0.08	1.0	2.2	3.3	0.49	0.87	33.0	54.1	121.6	84.5	89.5	91.5	91.5
A92-2	125	—	10.9	0.08	1.0	2.2	4.3	0.51	0.91	41.3	64.5	154.0	82	89.5	92	91.5
1500轉/分(同期轉速)																
A31-4	0.6	0.07	0.2	0.44	1.7	2.0	0.013	0.05	0.08	0.415	0.11	0.23	0.05	69	72	74
A32-4	1.0	0.09	0.27	0.44	1.8	2.0	0.019	0.05	0.07	0.69	0.16	0.38	0.5	78.5	78.5	77.5
A41-4	1.7	0.12	0.39	0.34	1.8	2.0	0.032	0.07	0.09	1.17	0.32	0.66	0.35	82.5	81.5	81.5
A42-4	2.8	0.17	0.56	0.34	1.9	2.0	0.056	0.06	0.07	1.92	0.55	1.08	0.6	83.5	84.5	81.5
A51-4	4.5	0.23	0.76	0.24	1.4	2.0	0.17	0.13	0.17	3.04	0.88	1.8	78.5	84.5	85.5	82.5
A52-4	7.0	0.31	1.05	0.24	1.5	2.0	0.25	0.12	0.15	4.74	2.14	4.24	79.5	74.5	83.5	87
A61-4	10.	0.33	1.5	0.16	1.2	2.0	0.36	0.13	0.20	6.72	2.67	4.4	80.5	86.5	87.5	86.5